

บทที่ 2

หลักการและทฤษฎี

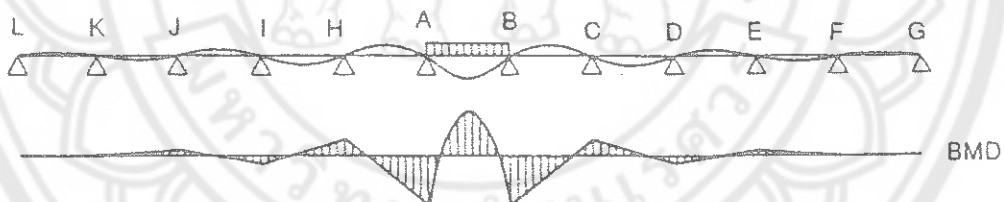
เนื่องจากโครงการนี้นี้ทำการศึกษาเกี่ยวกับการวิเคราะห์ และออกแบบ โครงสร้างคอนกรีต โดยแบ่งเป็นประเภทของโครงสร้าง ดังนี้

2.1 การวิเคราะห์ และออกแบบความคงทนคอนกรีตเสริมเหล็ก

2.1.1 การวิเคราะห์แรงและโมเมนต์ที่กระทำต่อคาน

2.1.1.1 การจัดน้ำหนักบรรทุกแบบตารางหมากกระดาน (Checkerboard Loading)

ในการวิเคราะห์โครงสร้างอย่างละเอียดต้องพิจารณาข้อความน้ำหนักบรรทุก นอกเหนือจากน้ำหนักบรรทุกคงที่ที่กระทำบนส่วนของโครงสร้าง เพื่อให้ได้ค่าสูงสุดของโมเมนต์คัดชนิดบวกที่บริเวณกลางช่วงและโมเมนต์คัดชนิดลบที่ตรงกันคือ รวมถึงค่าสูงสุดของแรงเฉือนสำหรับใช้ออกแบบส่วนโครงสร้างนั้น แนวทางในการจัดน้ำหนักบรรทุกจะสามารถพิจารณาได้จากเดิน Influence Line ของโมเมนต์หรือการโถ่ตัว ดังนี้

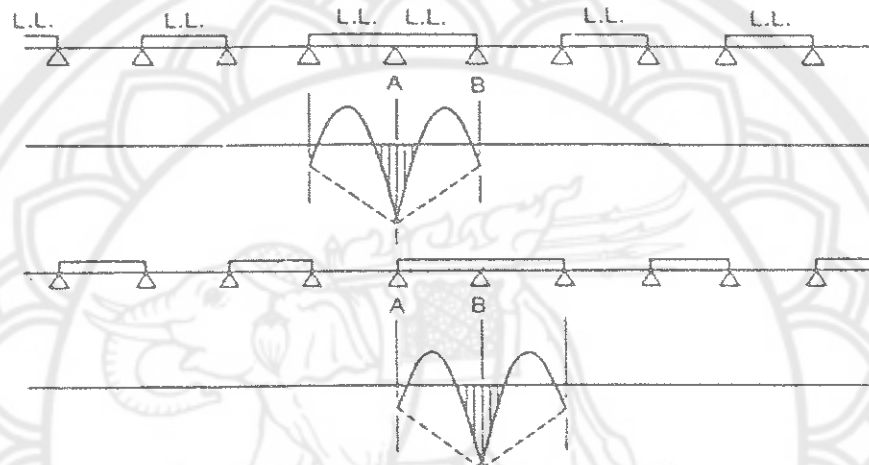


รูปที่ 2.1 ผลของโมเมนต์คัดในคานต่อเนื่องที่รับน้ำหนักบรรทุกเพียงช่วงเดียว

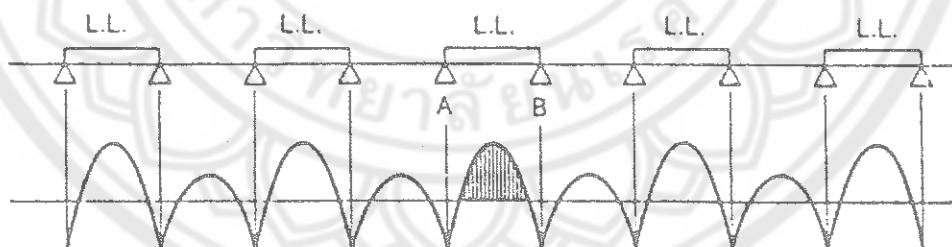
พิจารณาคานต่อเนื่องที่แสดงในรูปที่ 2.1 ถ้ามีน้ำหนักบรรทุกแบบแผ่กระทำบนช่วง AB จะเห็นว่าคานช่วง AB จะโถ่ตัวลง ซึ่งส่งผลกระทบให้เกิดการโถ่ตัวขึ้นและโถ่ตัวลงในช่วงคานผิดมาทึ้งสองค้านของจุด A และจุด B ทำนองเดียวกัน โมเมนต์คัดในช่วงคาน AB ที่ส่งผลกระทบให้เกิดการกระจายโมเมนต์คัดออกไปทึ้งสองค้านของจุด A และจุด B โดยมีทั้งโมเมนต์ลบและโมเมนต์บวกสลับกันไปมาอย่างต่อเนื่อง ดังนั้นมีน้ำหนักบรรทุกแบบแผ่ไปกระทำบนช่วง CD หรือ IH เพิ่มอีกซึ่งมีผลให้โมเมนต์บวกในช่วงคาน AB มีค่าเพิ่มมากขึ้น ฉะนั้นจึงสรุปการจัดน้ำหนักบรรทุกจะได้ดังนี้

ก) ตรงจุดต่อใดที่ต้องการหาค่าโนเมนต์ลับสูงสุด ให้จัดวงน้ำหนักบรรทุกรไว้เต็มช่วงในสองช่วงที่ข้างเคียงกันตรงจุดต่อนั้น และให้มีน้ำหนักบรรทุกรเต็มช่วงเว้นช่วงถัดมา นั่นคือช่วงใดมีน้ำหนักบรรทุกรกระทำได้ไว้ในวันไปช่วงหนึ่ง และในช่วงถัดไปให้มีน้ำหนักบรรทุกรกระทำเต็มช่วงอีกทีหนึ่งสลับกันไปมาตลอดความยาวของส่วนโครงสร้างนั้น

ข) ที่กลางช่วงใดที่ต้องการหาค่าโนเมนต์บวกสูงสุด ให้จัดวงน้ำหนักบรรทุกรไว้เต็มช่วงนั้น และเมื่อวันไปช่วงหนึ่งก็ให้มีน้ำหนักบรรทุกรกระทำเต็มช่วงอีก สลับกันไปมาตลอดความยาวของส่วนโครงสร้างนั้น



รูปที่ 2.2 การจัดวงน้ำหนักบรรทุกรสำหรับหาโนเมนต์ลับสูงสุดที่ A และที่จุด B

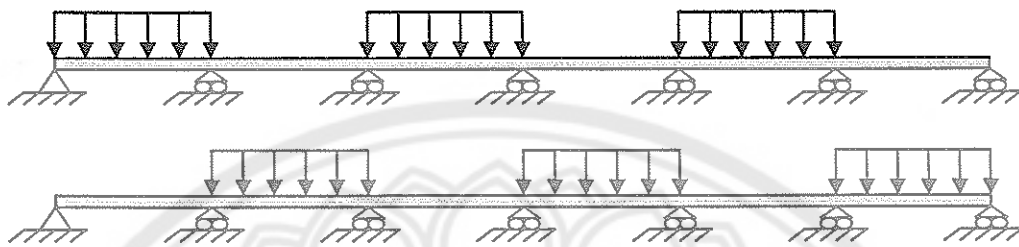


รูปที่ 2.3 การจัดวงน้ำหนักบรรทุกรสำหรับหาโนเมนต์บวกสูงสุดในช่วง AB

สรุป

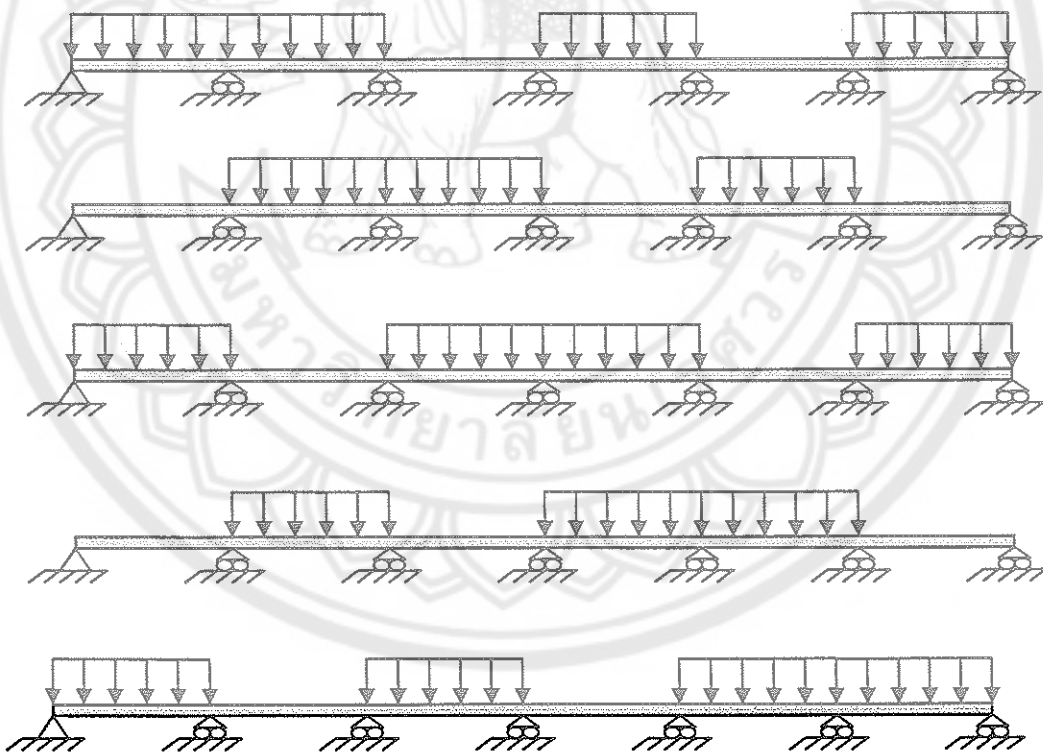
ถ้ามีจำนวน Span ทั้งหมด n ช่วง จะต้องทำการจัดความ Load Pattern เป็น $n+1$ กรณีดังตัวอย่าง

- 1) การจัดความ Load ที่ทำให้เกิดโมเมนต์บENDING



รูปที่ 2.4 การจัดความ Load ที่ทำให้เกิดโมเมนต์บENDING

- 2) การจัดความ Load ที่ทำให้เกิดโมเมนต์ลับต่ำสุด



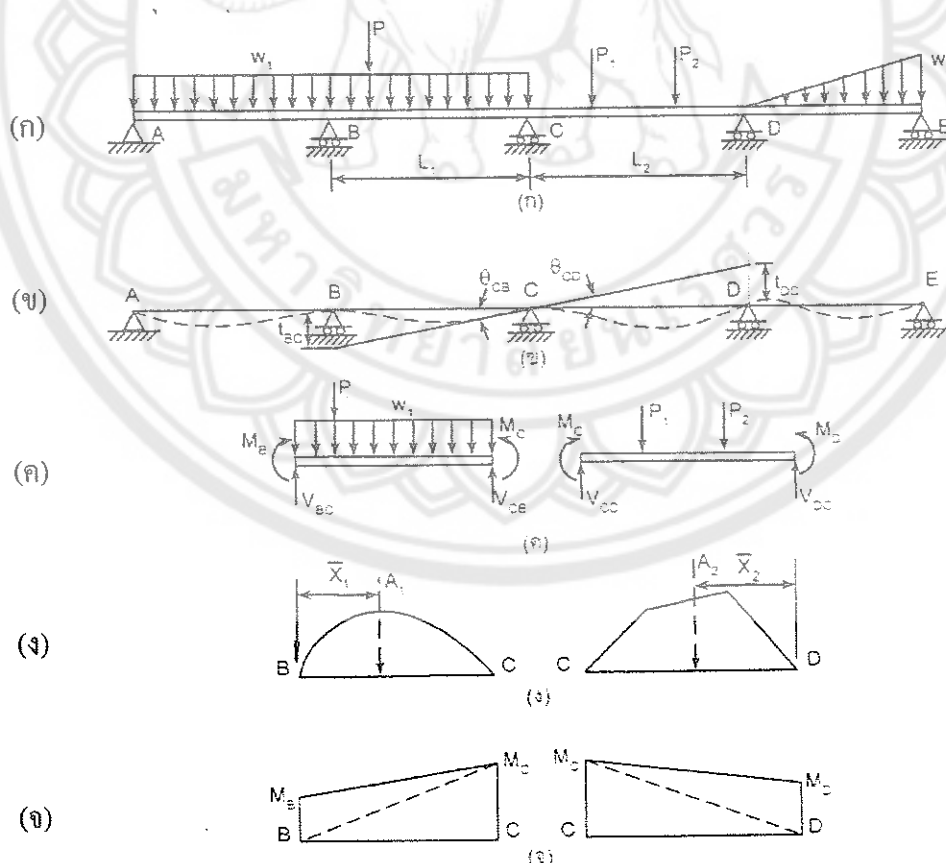
รูปที่ 2.5 การจัดความ Load ที่ทำให้เกิดโมเมนต์ลับต่ำสุด

หมายเหตุ ไม่ว่าที่รองรับขวาสุดและซ้ายสุด (End Support) จะเป็น Hinge , Roller , Fix หรือ Free ก็จะมีการวาง Load เช่นเดียวกัน

2.1.1.2 การวิเคราะห์คานต่อเนื่องด้วย Three Moments Equation กรณีค่า EI ไม่เท่ากัน

คานที่มีจุดรองรับมากกว่าสองจุดขึ้นไปเรียกว่า คานต่อเนื่อง ซึ่งจัดเป็นคานแบบอินดิเพอร์ มิเนท การวิเคราะห์คานต่อเนื่องนักงานจะใช้วิธีการเปลี่ยนรูปที่สอดคล้อง แต่ส่วนมากมักจะวิเคราะห์ด้วยวิธีสมการของสามโมเมนต์ (Three – Moment Equation) ซึ่งเป็นการนำวิธีการเปลี่ยนรูปที่สอดคล้องมาพิจารณาแต่ให้ไม่менต์คัคที่จุดหรือฐานรองรับเป็นตัวเกิน ทำให้ได้สมการที่แสดงความสัมพันธ์ระหว่างโมเมนต์คัคที่จุดรองรับสามจุดของคานต่อเนื่อง เมื่อรับน้ำหนักบรรทุกหรือแรงกระแทกร้าบเมื่อแก้สมการ จะได้ค่าโมเมนต์คัคที่จุดรองรับสามจุดของคานต่อเนื่อง ซึ่งจะนำไปใช้หาค่าแรงปฏิกิริยาต่อไปโดยพิจารณาจากสมการสมดุล

พิจารณาคานต่อเนื่องที่รับน้ำหนักบรรทุกโดย ดังรูปที่ 2.6 (ก) สมมติว่าหน้าตัดของคานมีค่าคงที่ตลอด และไม่มีการทรุดตัวของจุดรองรับแต่อย่างใด ลักษณะการเปลี่ยนรูปของคานต่อเนื่องเมื่อรับน้ำหนักบรรทุกสามารถแสดงได้ด้วยเส้นโค้งอิลาสติก ดังรูป 2.6 (ข) ซึ่งจะเห็นว่าเส้นโค้งนี้ต้องมีความต่อเนื่องกันและมุนลาดเอียงทางด้านซ้ายมือและทางด้านขวา มือของจุดรองรับหนึ่ง ๆ ต้องมีค่าเท่ากันเสมอและมุนไปในทิศทางเดียวกัน เช่นที่จุดรองรับ C มุนลาดเอียง θ_{CD} ต้องเท่ากับมุนลาดเอียง θ_{CB} นี้คือเงื่อนไขของความสอดคล้องทางเรขาคณิตของคานซึ่งจะนำไป變成เป็นสมการที่แสดงความสัมพันธ์ของโมเมนต์คัคที่จุดสามจุดต่อเนื่องกัน



รูปที่ 2.6 การพิจารณาสมการของโมเมนต์

จากรูปที่ 2.6 (ก) จะเห็นว่า คานต่อเนื่องที่กำหนดให้มีศักย์ของอินเดียร์มิเนทเท่ากับสาม คังนั้น ถ้าเลือกให้โมเมนต์คดที่จุดรองรับ B , C และ D เป็นตัวเกิน (Redundant) ซึ่งทำได้โดยใส่หมุด หมุน (Hinge) ที่จุดรองรับ B , C และ D จะนั้นคานต่อเนื่องแต่กระช่วงที่กำหนดให้จะถูกเปลี่ยนเป็นคานช่วง เดียวธรรมชาติที่ต้องรับน้ำหนักบรรทุกตามที่กำหนดและโมเมนต์คดที่เป็นตัวเกิน ดังรูปที่ 2.6 (ค) แบ่ง ออกเป็นภาพของโมเมนต์คดในรูปที่ 2.6 (ง) และ (จ) ซึ่งในที่นี้ให้โมเมนต์คดที่ทำให้หลังคานถูกอัดมี ค่าเป็นบวก

รูปที่ 2.6 (ง) เป็นภาพของโมเมนต์คดที่เกิดจากน้ำหนักบรรทุกใดๆ ตามที่โจทย์กำหนดให้ A_1 และ A_2 เป็นพื้นที่ของภาพ โมเมนต์คดบนช่วงคาน BC และ CD ตามลำดับ และให้ \bar{x}_1 และ \bar{x}_2 เป็น ระยะจากจุดศูนย์กลางของพื้นที่ A_1 และ A_2 ซึ่งอยู่ห่างจากจุด B และ D ตามลำดับ สำหรับภาพของ โมเมนต์คดที่เกิดจากตัวเกิน M_B , M_C และ M_D จะเขียนได้ดังแสดงในรูปที่ 2.4 (ง)

สมการเงื่อนไขของความสอดคล้องของมุมคาดเอียงที่จุด C คือ

$$\text{มุมคาดเอียง } \theta_{CB} = \text{มุมคาดเอียง } \theta_{CD} \quad (2.1)$$

$$\text{แต่ } \theta_{CB} = -t_{BC}/L_1 \text{ และ } \theta_{CD} = -t_{DC}/L_2$$

จากทฤษฎีที่สองของวิธี Moment – Area จะหาค่าของ t_{BC} และ t_{DC} ได้ดัง

$$t_{BC} = \frac{A_1}{EI} \bar{x}_1 + \frac{1}{2} \frac{M_B}{EI} (L_1) \left(\frac{1}{3} L_1 \right) + \frac{1}{2} \frac{M_C}{EI} (L_1) \left(\frac{2}{3} L_1 \right)$$

$$t_{DC} = \frac{A_2}{EI} \bar{x}_2 + \frac{1}{2} \frac{M_D}{EI} (L_2) \left(\frac{1}{3} L_2 \right) + \frac{1}{2} \frac{M_C}{EI} (L_2) \left(\frac{2}{3} L_2 \right)$$

$$\text{จากสมการ (2.1) จะได้ } -t_{BC}/L_1 = -t_{DC}/L_2 \quad (2.2)$$

ในการอธิบายที่เป็นคานต่อเนื่องที่มีค่า EI ไม่เท่ากัน แทน t_{BC} และ t_{DC} ลงในสมการ (2.2)

จะได้

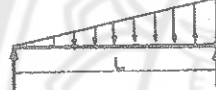
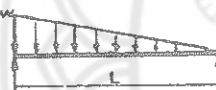
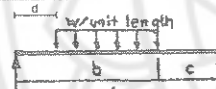
$$\frac{M_B}{6E_1 I_1} L_1 + \frac{M_C}{3E_1 I_1} L_1 + \frac{M_C}{3E_2 I_2} L_2 + \frac{M_D}{6E_2 I_2} L_2 + \frac{A_1 \bar{x}_1}{E_1 I_1 L_1} + \frac{A_2 \bar{x}_2}{E_2 I_2 L_2} = 0 \quad (2.3)$$

สมการ (2.3) เรียกว่า Three – Moment Equation ซึ่งให้ความสัมพันธ์ระหว่างโมเมนต์คดที่จุด สามจุดของคานที่ต่อเนื่องกัน อนึ่ง สมการนี้ใช้ได้กับคานที่มีหน้าตัดไม่คงที่ทุกช่วงคานที่พิจารณา และ ไม่มีการทรุดตัวของจุดรองรับ

ถ้าสมมติให้ $L_0 = \frac{A_1 \bar{x}_1}{L_1}$ และ $R_0 = \frac{A_2 \bar{x}_2}{L_2}$ จะเขียนสมการ (2.3) ได้ใหม่เป็น

$$\frac{M_B}{6E_1 I_1} L_1 + \frac{M_C}{3E_1 I_1} L_1 + \frac{M_C}{3E_2 I_2} L_2 + \frac{M_D}{6E_2 I_2} L_2 + \frac{L_0}{E_1 I_1} + \frac{R_0}{E_2 I_2} = 0 \quad (2.4)$$

ตารางที่ 2.1 ค่าของ L_0 และ R_0 ที่ใช้สำหรับสมการ (2.4) เมื่อนำหนักบรรทุกเป็นแบบต่างๆ

ลักษณะของน้ำหนัก บรรทุก	L_0	R_0
	$\frac{Pa}{L}(L^2 - a^2)$	$\frac{Pb}{L}(L^2 - b^2)$
	$\frac{wL^3}{4} = \frac{WL^2}{4}$	$\frac{wL^3}{4} = \frac{WL^2}{4}$
	$\frac{8wL^3}{60} = \frac{8WL^2}{30}$	$\frac{7wL^3}{60} = \frac{7WL^2}{30}$
	$\frac{7wL^3}{60} = \frac{7WL^2}{30}$	$\frac{8wL^3}{60} = \frac{8WL^2}{30}$
	$\frac{w}{4L} [b^2(2L^2 - b^2) - a^2(2L^2 - a^2)]$	$\frac{w}{4L} [d^2(2L^2 - d^2) - c^2(2L^2 - c^2)]$
	$\frac{5wL^3}{32} = \frac{5WL^2}{16}$	$\frac{5wL^3}{32} = \frac{5WL^2}{16}$

2.1.2 การออกแบบคานคอนกรีตเสริมเหล็ก

ค่าตัวแปรต่าง ๆ ที่ใช้ในการออกแบบ มีดังนี้

เมื่อ	b	: ความกว้างคาน
	d	: ความลึกประสิตทิพย์
	f'_c	: กำลังอัดประดับของคอนกรีต
	f_c	: กำลังหรือหน่วยแรงใช้งานของคอนกรีต
	f_y	: กำลังครากของเหล็กเสริม
	f_s	: หน่วยแรงใช้งานของเหล็กเสริมต้านทานแรงดึง
	E_c	: โมดูลัสยืดหยุ่นของคอนกรีต
	E_s	: โมดูลัสยืดหยุ่นของเหล็กเสริม
	n	: อัตราส่วนระหว่างโมดูลัสยืดหยุ่นของเหล็กเสริมต่อโมดูลัสยืดหยุ่นของคอนกรีต
	k	: ตัวคูณระยะระหว่างศูนย์ถ่วงแรงอัดในคอนกรีตถึงแกนสะเทิน
	j	: ตัวคูณแทนโน้มเนตของแรงดึงในเหล็กเสริม
	d'	: ระยะระหว่างผิวคอนกรีตถัดลับแรงอัดถึงศูนย์กลางเหล็กถัดลับต้านทานแรงอัด
	f'_s	: หน่วยแรงใช้งานของเหล็กเสริมต้านทานแรงอัด

โดยที่	E_c	=	$15210\sqrt{f'_c}$
	n	=	$\frac{E_s}{E_c}$
	k	=	$\frac{1}{1 + \frac{f_s}{n \cdot f_c}}$
	j	=	$1 - \frac{k}{3}$
	f'_s	=	$f_s \cdot \frac{k \cdot d - d'}{d - k \cdot d}$

คานที่เสริมเหล็กต้านทานแรงดึง ($M \leq M_R$)

$$\begin{aligned} M_R &= R \cdot b \cdot d^2 \\ \text{กำหนด } R &= \frac{1}{2} \cdot f_c \cdot k \cdot j \\ \text{ดังนั้น } M_R &= \frac{1}{2} \cdot f_c \cdot k \cdot j \cdot b \cdot d^2 \end{aligned}$$

ปริมาณเหล็กเสริมต้านทานโน้มแนวตัด

$$A_s = \frac{M}{f_s \cdot j \cdot d}$$

คานที่เสริมเหล็กต้านทานแรงดึงและแรงอัด ($M > M_R$)

$$\begin{aligned} M &= M_1 + M_2 \\ \text{เมื่อ } M &: \text{โน้มแนวตัดทั้งหมดที่กระทำต่อหน้าตัดคาน} \\ M_1 &= R \cdot b \cdot d^2 = M_R \end{aligned}$$

ปริมาณเหล็กเสริมต้านทานแรงดึงคำนวณจาก M_R และโน้มแนวตัดส่วนเกิน ตามคำอธิบาย

$$\begin{aligned} A_{s_1} &= \frac{M_R}{f_s \cdot j \cdot d} \\ A_{s_2} &= \frac{M_2}{f_s \cdot j \cdot d} \end{aligned}$$

ปริมาณเหล็กเสริมต้านทานแรงดึงทั้งหมด

$$A_s = A_{s_1} + A_{s_2}$$

ปริมาณเหล็กเสริมต้านทานแรงดึงคำนวณจากสมดุลของแรงแนวราบในหน้าตัด

$$A'_s = \frac{A_{s_2} \cdot (d - k \cdot d')}{2 \cdot (k \cdot d - d')}$$

การตรวจสอบความลึกต่ำสุดของคาน โดยที่ไม่ต้องทำการตรวจสอบระยะทาง โถงตัวของคาน

กรณี	ความลึกต่ำสุด
คานช่วงเดียวกันทั้ง 2 ไม้ต่อเนื่อง	L / 16
คานที่มีปลายด้านหนึ่งต่อเนื่อง	L / 18.5
คานที่มีปลายทั้งสองด้านต่อเนื่อง	L / 21
คานยืน	L / 8

หมายเหตุ L คือระยะระหว่างขอบของท่อรองรับ

การตรวจสอบคานลึก

ชนิดคาน	อัตราส่วนความลึกต่อความยาวช่วง $\left(\frac{h}{L}\right)$
คานต่อเนื่อง	มากกว่า 2 / 5
คานช่วงเดียว	มากกว่า 4 / 5

การตรวจสอบปริมาณเหล็กเสริมต่ำสุด

$$A_{s-\min} = \frac{14}{f_y} \cdot b \cdot d$$

หรือ

$$A_{s-\min} = 1.34 \times A_s \text{ ที่คำนวณได้}$$

การตรวจสอบปริมาณเหล็กเสริมต้านทานการยืดหดในคาน

$$A_s \geq 0.0025 \cdot b \cdot d$$

การตรวจสอบปริมาณเต็นรอนของเหล็กเสริมเพื่อใช้ในการยึดหน่วงกับคอนกรีต

$$\Sigma_0 = \frac{V}{\mu \cdot j \cdot d}$$

เมื่อ μ : หน่วยแรงยึดหน่วงระหว่างเหล็กเสริมกับ
คอนกรีตที่หุ้มโดยรอบ

Σ_0 : พลรวมของเต็นรอนของเหล็กเสริมทั้งหมด

ระบบเรียงเหล็กเสริมต้านทานแรงเฉือน

$$S = \frac{n \cdot A_v \cdot f_v \cdot d}{v'}$$

เมื่อ S : ระยะห่างระหว่างเหล็กกลูกตึ้ง

การตรวจสอบระบบเรียงเหล็กเสริมต้านทานแรงเฉือน

กรณีที่ 1 $0.29\sqrt{f'_c} \cdot b \cdot d < V \leq 0.795\sqrt{f'_c} \cdot b \cdot d$

ระยะห่างระหว่างเหล็กเสริมต้านทานแรงเฉือนเท่ากับค่า $\min(S, \frac{d}{2})$

กรณีที่ 2 $0.795\sqrt{f'_c} \cdot b \cdot d < V \leq 1.32\sqrt{f'_c} \cdot b \cdot d$

ระยะห่างระหว่างเหล็กเสริมต้านทานแรงเฉือนเท่ากับค่า $\min(S, \frac{d}{4})$

กรณีที่ 3 $V \leq 0.29\sqrt{f'_c} \cdot b \cdot d$

ไม่จำเป็นต้องเสริมเหล็กต้านทานแรงเฉือน(ทฤษฎี)

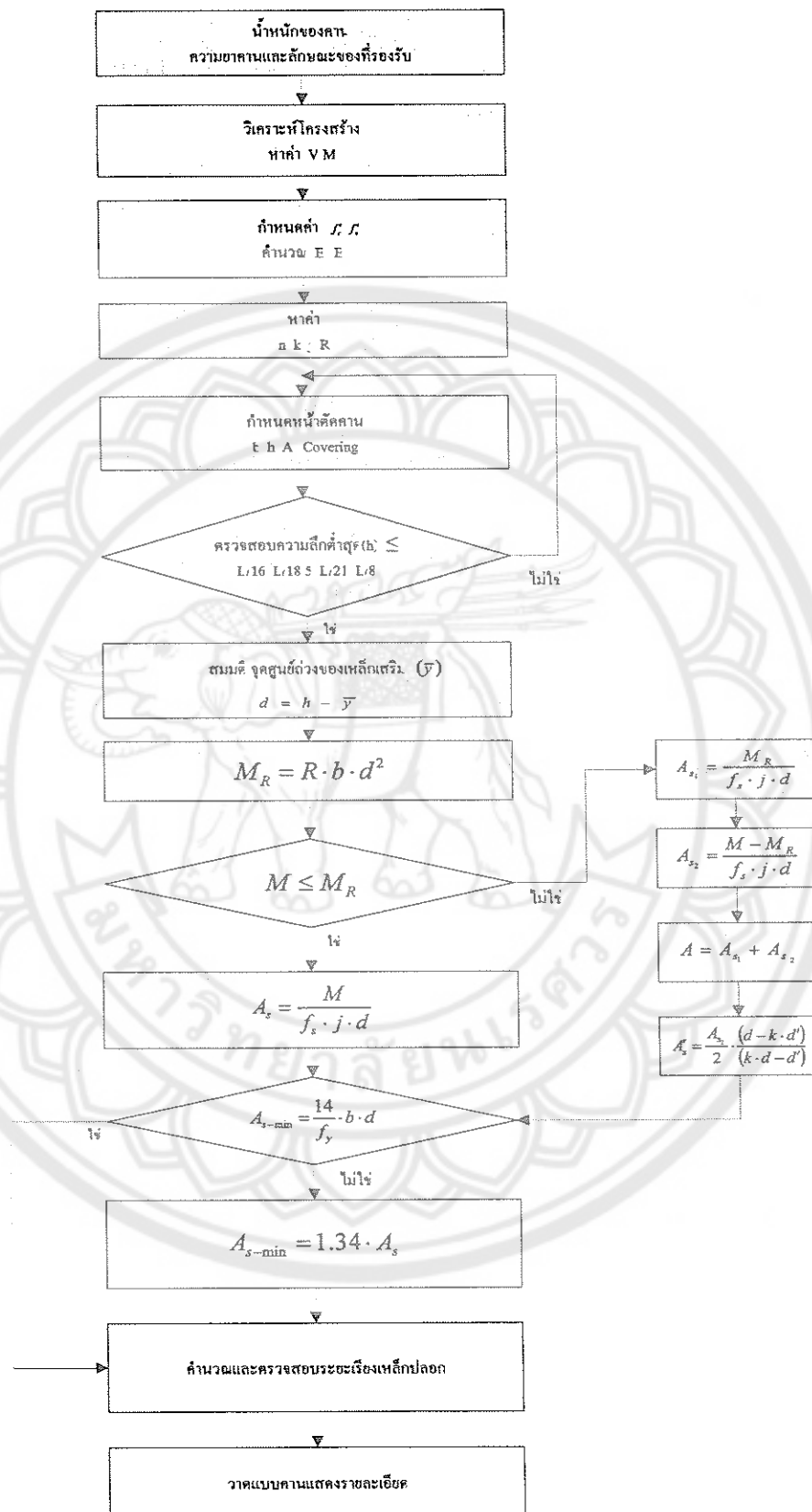
กรณีที่ 4 $V \geq 1.32\sqrt{f'_c} \cdot b \cdot d$

สมควรเปลี่ยนขนาดหน้าตัดคาน หรือเพิ่ม f'_c ของคอนกรีต

หน่วยแรงขีดหน่วงที่ยอมให้ กำหนดโดยมาตราฐาน ว.ส.ท. 6500(ค)

	เหล็กบน	เหล็กอื่นที่ไม่ใช่เหล็กบน
เหล็กข้ออ้อย(ASTM A305)	$\frac{2.29 \cdot \sqrt{f'_c}}{D} \leq 25 \text{ ksc}$	$\frac{3.23 \cdot \sqrt{f'_c}}{D} \leq 35 \text{ ksc}$
เหล็กข้ออ้อย(ASTM A408)	$0.556 \cdot \sqrt{f'_c}$	$0.795 \cdot \sqrt{f'_c}$
เหล็กเส้นกลมผิวนิรภัย	$\frac{1.145 \cdot \sqrt{f'_c}}{D} \leq 11 \text{ ksc}$	$\frac{1.615 \cdot \sqrt{f'_c}}{D} \leq 11 \text{ ksc}$

เพื่อจะนั่น การออกแบบงานคอนกรีตเสริมเหล็กสามารถอธิบายโดยใช้ Flow Chart ได้ดังนี้



รูปที่ 2.7 Flow Chart การออกแบบงานคอนกรีตเสริมเหล็ก

2.2 การวิเคราะห์ และออกแบบเสากองกรีตเสริมเหล็ก

โปรแกรมที่พัฒนาขึ้นนี้กำหนดให้ผู้ใช้โปรแกรม เป็นผู้ใส่ค่าแรงในแนวตั้งและโนเมนต์ด้วยตัวเอง (ทั้ง 2 แกน) ด้วยตนเอง จากนั้นโปรแกรมจะทำการวิเคราะห์ คำนวณหาค่าตัวแปรต่าง ๆ ที่ใช้ในการออกแบบให้โดยอัตโนมัติ ซึ่งค่าที่ได้จะนำไปใช้ในการออกแบบ ดังจะกล่าวต่อไป

การออกแบบเสากองกรีตเสริมเหล็ก

โครงการนี้ผู้จัดทำได้พัฒนาโปรแกรมสำหรับเสาปลอกเดียวหน้าตัดสี่เหลี่ยม และมีหน้าตัดสมมาตรเพียงอย่างเดียว โดยการออกแบบนี้ใช้วิธีหน่วยแรงใช้งาน

กำลังรับแรงอัดของเสาปลอกเดียว

$$P = 0.85 \cdot A_g \cdot (0.25 \cdot f'_c + f_s \cdot p_g)$$

ระยะเบื้องศูนย์สมดุลของเสาปลอกเดียวที่มีหน้าตัดสมมาตร

หรือ	e_b	=	$(0.67 \cdot p_g \cdot m + 0.17)(t - \bar{y})$
เมื่อ	e_b	=	$(0.67 \cdot p_g \cdot m + 0.17)(b - \bar{y})$
	m	=	$\frac{f_y}{0.85 \cdot f'_c}$
	p_g	:	อัตราส่วนของเนื้อที่เหล็กยึนต่อเนื้อที่หักหมด
	b	:	ความกว้างของหน้าตัด
	t	:	ความลึกของหน้าตัด
	\bar{y}	:	ระยะจากผิวกองกรีตถึงจุดศูนย์ถ่วงของ เหล็กยึน

การคำนวณตรวจสอบกำลังเสา

เสาที่ด้านหน้างรับแรงอัดเป็นหลัก

$$\frac{f_a}{F_a} + \frac{f_{bx}}{F_b} + \frac{f_{by}}{F_b} \leq 1$$

เมื่อ f_a : แรงตามแกนหารด้วยเนื้อที่หน้าตัด

f_{bx}, f_{by} : หน่วยแรงที่เกิดจากโมเมนต์ดัด รอบแกนหลัก x และ y หารด้วยโมคูลัสของหน้าตัดแปลงที่ไม่แตกร้าวรอบแกนนั้น โดยใช้อัตราส่วนโมคูลัส สำหรับเหล็กเสริมทั้งหมดตามแนวแกนเสาเท่ากับ $2 \cdot n$ หรือ $2 \cdot n - 1$

ถ้าที่้านท่านแรงคงเป็นหลัก

$$\frac{M_x}{M_{ox}} + \frac{M_y}{M_{oy}} \leq 1$$

เมื่อ M_x, M_y : โมเมนต์ดัดรอบแกน x และ y
 M_{ox}, M_{oy} : หน่วยแรงที่เกิดจากโมเมนต์ดัด รอบแกนหลัก x และ y หารด้วยโมคูลัสของหน้าตัดแปลงที่ไม่แตกร้าวรอบแกนนั้น โดยใช้อัตราส่วนโมคูลัส สำหรับเหล็กเสริมทั้งหมดตามแนวแกนเสาเท่ากับ $2 \cdot n$ หรือ $2 \cdot n - 1$

หน่วยแรงคงภายใต้การคัดสูงสุดที่ยอมให้

$$M_{sx} = \frac{F_b \cdot I_{xx}}{C_y} \quad M_{sy} = \frac{F_b \cdot I_{yy}}{C_x}$$

หน่วยแรงคัดที่ยอมให้

$$F_a = 0.34(1 + p_g \cdot m) f'_c$$

หน่วยแรงอัดที่ยอมให้

$$F_b = 0.45 f'_c$$

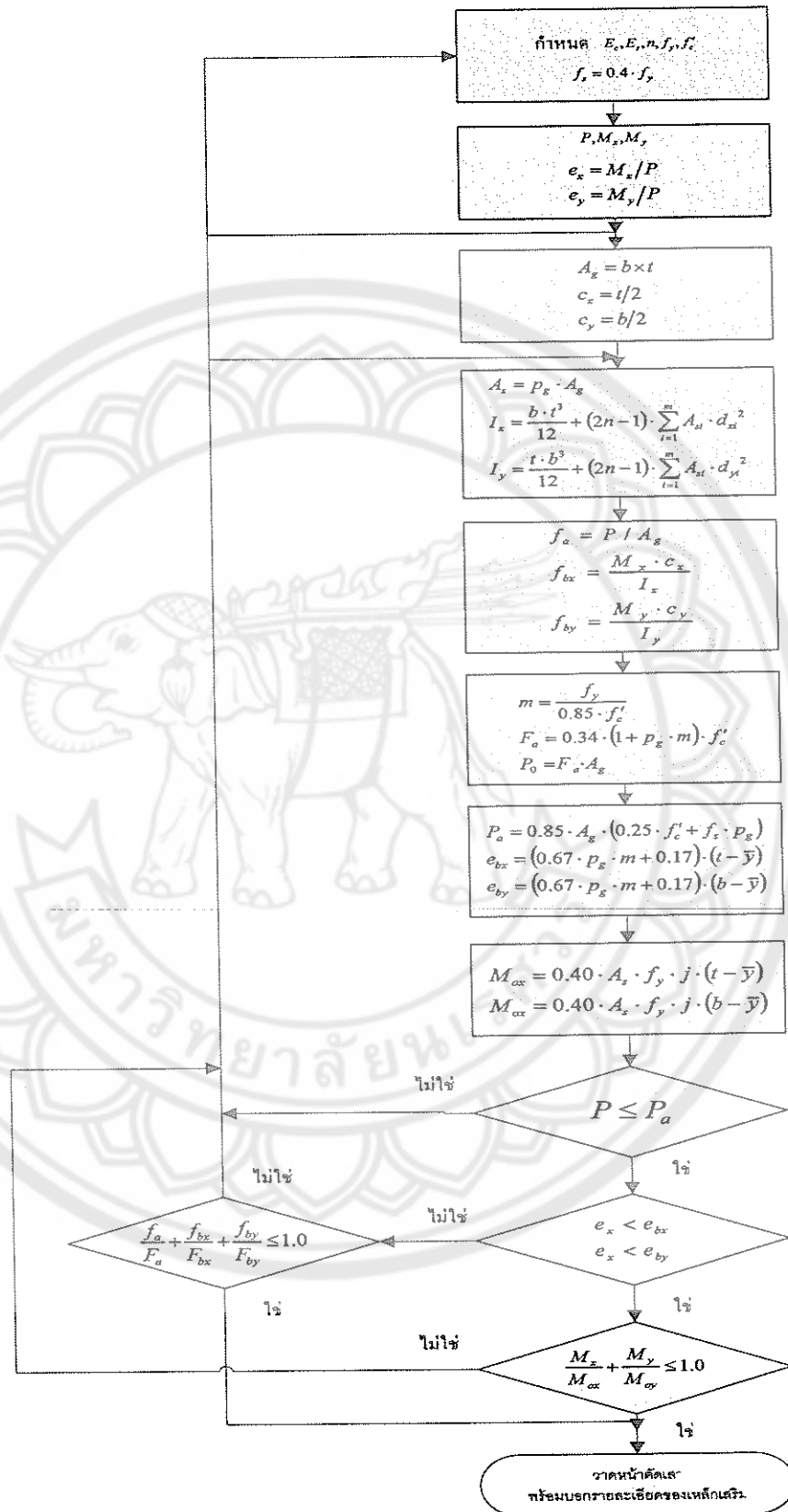
ตรวจสอบปริมาณเหล็กเสริมต่ำสุดในเสา

เหล็กยืนในเสาปลอกเดี่ยว ว.ส.ท. 4800 กำหนดไว้ดังนี้

1. พิกัดหน้าตัดของเสา เสาปลอกเดี่ยวที่มีหน้าตัดมากกว่าที่ต้องการในการรับน้ำหนัก การห้าปริมาณเหล็กเสริมที่น้อยที่สุด และความสามารถในการรับน้ำหนัก ให้คำนวณจากพื้นที่หน้าตัด A_g ที่ลดลงได้แต่ค่า A_g นั้นต้องไม่ต่ำกว่าครึ่งหนึ่งของหน้าตัดจริง
2. พื้นที่หน้าตัดของเหล็กเสริมยืนสำหรับเสา ต้องไม่น้อยกว่าร้อยละ 1 และไม่มากกว่าร้อยละ 8 ของพื้นที่หน้าตัด
3. ขนาดเส้นผ่านศูนย์กลางของเหล็กยืนเสาปลอกเดี่ยวต้องมีเหล็กยืนไม่เล็กกว่า 12 มิลลิเมตร และในเสาปลอกเดี่ยวต้องมีเหล็กเสริมยืนไม่น้อยกว่า 4 เส้น



เพื่อจะนั้น การออกแบบเสาคอนกรีตเสริมเหล็กสามารถอธิบายโดยใช้ Flow Chart ได้ดังนี้



รูปที่ 2.8 Flow Chart การออกแบบเสาคอนกรีตเสริมเหล็ก

2.3 การวิเคราะห์ และออกแบบฐานรากคอนกรีตเสริมเหล็ก

สำหรับแรงในแนวตั้งและโน้มแน่นที่กระทำกับฐานรากที่นำมาใช้ในการวิเคราะห์ และออกแบบนั้น คณะผู้จัดทำได้พัฒนาโปรแกรมให้ ผู้ใช้โปรแกรมสามารถที่จะเป็นผู้ใส่ค่าต่าง ๆ ด้วยตนเอง จากนั้น โปรแกรมจะทำการวิเคราะห์ คำนวณหาค่าตัวแปรต่าง ๆ ที่ใช้ในการออกแบบให้โดยอัตโนมัติ ซึ่งค่าที่ได้จะนำไปใช้ในการออกแบบ ดังจะกล่าวต่อไป

การออกแบบฐานรากคอนกรีตเสริมเหล็ก

โครงการนี้ผู้จัดทำได้พัฒนาโปรแกรมสำหรับฐานรากแผ่น เส้นเหลี่ยม โดยใช้การออกแบบด้วยวิธีหน่วยแรงใช้งาน

ตรวจสอบหน่วยแรงเบกทานของคิน

$$\sigma = \frac{P}{A_{footing}}$$

- | | | | |
|-------|---------------|---|-------------------------------------|
| เมื่อ | σ | : | หน่วยแรงเบกทานของคินบริเวณใต้ฐานราก |
| | P | : | ผลรวมแรงตามแนวแกนที่กระทำต่อฐานราก |
| | $A_{footing}$ | : | พื้นที่ของฐานราก (กว้าง x ยาว) |

ตรวจสอบหน่วยแรงเฉือนแบบคาน

$$v_d = \frac{V_d}{b \times d}$$

- | | | | |
|-------|---------------|---|------------------------------------|
| เมื่อ | v_d | : | หน่วยแรงเฉือนแบบคาน |
| | V_d | : | ผลรวมแรงตามแนวแกนที่กระทำต่อฐานราก |
| | $A_{footing}$ | : | พื้นที่ของฐานราก(กว้าง x ยาว) |

ตรวจสอบหน่วยแรงเฉือนแบบเจาะทะลุ

$$v_p = \frac{\text{แรงเฉือนที่เกิดขึ้น}}{\text{เส้นรอบรูปบริเวณที่ถูกเฉือน}}$$

ปริมาณเหล็กเสริมต้านทานแรงดึง

$$A_s = \frac{M}{f_s \cdot j \cdot d}$$

ปริมาณเหล็กเสริมต้านทานการยึดหด

$$A_{s-temp} = 0.0016 \times b \times t$$

หน่วยแรงยึดหดหน่วงที่ยอมให้ กำหนดโดยมาตรฐาน ว.ส.ท. 6500(ค)

	เหล็กบน	เหล็กอื่นที่ไม่ใช่เหล็กบน
เหล็กข้ออ้อย(ASTM A305)	$\frac{2.29 \cdot \sqrt{f'_c}}{D} \leq 25 \text{ ksc}$	$\frac{3.23 \cdot \sqrt{f'_c}}{D} \leq 35 \text{ ksc}$
เหล็กข้ออ้อย(ASTM A408)	$0.556 \cdot \sqrt{f'_c}$	$0.795 \cdot \sqrt{f'_c}$
เหล็กเตี้นกลมพิวเรียน	$\frac{1.145 \cdot \sqrt{f'_c}}{D} \leq 11 \text{ ksc}$	$\frac{1.615 \cdot \sqrt{f'_c}}{D} \leq 11 \text{ ksc}$

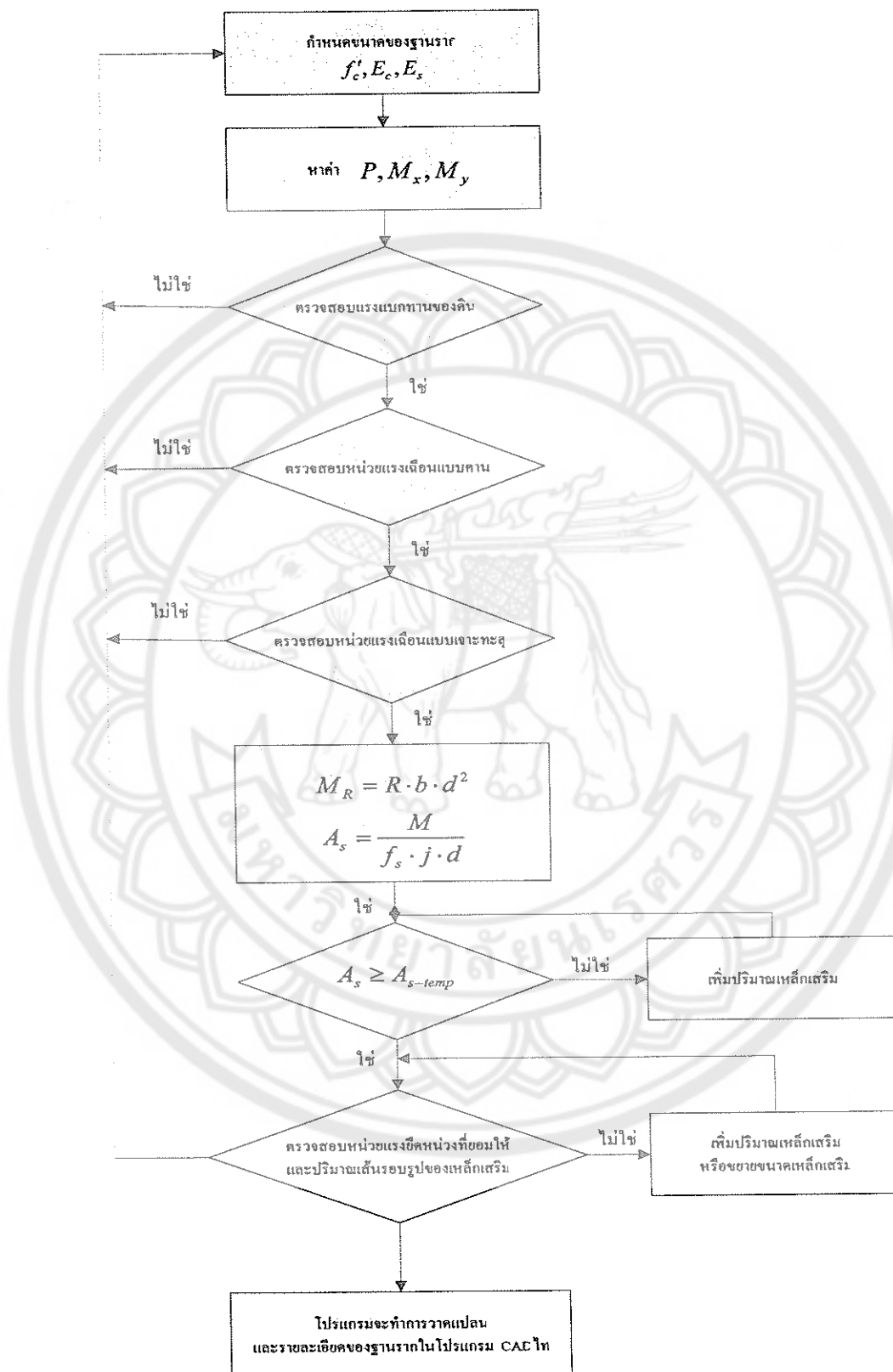
การตรวจสอบปริมาณเตี้นรองของเหล็กเสริมเพื่อใช้ในการยึดหดกับคอนกรีต

$$\Sigma_0 = \frac{V}{\mu \cdot j \cdot d}$$

เมื่อ μ : หน่วยแรงยึดหดหน่วงระหว่างเหล็กเสริมกับ
คอนกรีตที่หุ้มโดยรอบ

Σ_0 : ผลรวมของเตี้นรองของเหล็กเสริมทั้งหมด

เพื่อจะนี้ การออกแบบฐานรากคอนกรีตเสริมเหล็กสามารถอธิบายโดยใช้ Flow Chart ได้
ดังนี้



รูปที่ 2.9 Flow Chart การออกแบบฐานรากคอนกรีตเสริมเหล็ก